

根入れ基礎の動的地盤反力の境界要素法解析

佐賀大学 ○学生員 山村涼一
佐賀大学 正員 荒牧軍治

1. はじめに

地盤と構造物の動的相互作用の問題は古くから多くの研究者によって論ぜられ、数多くの優れた研究が発表されている。特に Lymer 等の伝達境界マトリックスを用いた有限要素法解析は、同手法の基本的欠陥と見なされていた境界面における波動の反射の問題を見事に解決した点で、相互作用問題に一大転機をもたらした。彼等の解析法は、構造物と地盤とを一体として解析できる利点を有し、実在構造物の地震時応答解析に大きな威力を發揮している。またそのプログラムは誰もが使える形で公表されているので、設計者、研究者にとって便利な道具にはっている。しかし、最近改良されつつあるとはいって、その基本は2次元であり、3次元に拡張するには多くの困難がある。その点最近注目されつつある境界要素法は、要素を境界面のみに限定できること、波動の透散について何等考慮まではう必要のないとの利点があるため、地盤と構造物の動的相互作用の問題には最適の手法であると考えられる。著者の1人は前回、境界要素法を用いた地盤-構造物系の解析法についての定式化について述べた。今日は、その中で最も基本的な動的地盤反力特性について述べる。この問題についてはすでに Ottosen や他の優れた研究があるが、全体解析への第1歩としてこの研究を行なった。

2. 動的地盤反力の境界要素法表示

簡単のため半無限弾性体に根入れられた基礎のみを考える。境界を自由表面 Σ_1 と剛基礎上表面 Σ_2 とし、それぞれの境界面における変位ベクトル、表面力ベクトルを U_f, U_r, P_f, P_r とすると境界要素法を用いて次式が与えられる。

$$\begin{bmatrix} H_{11} & H_{12} \\ H_{21} & H_{22} \end{bmatrix} \begin{Bmatrix} U_f \\ U_r \end{Bmatrix} = \begin{Bmatrix} G_{11} & G_{12} \\ G_{21} & G_{22} \end{Bmatrix} \begin{Bmatrix} P_r \\ P_s \end{Bmatrix} \quad (1)$$

剛基礎は3変位、3回転、計6つの自由度を有する。すなわち剛基礎表面の変位 U_r は剛基礎の変位ベクトル U_f を用いて次式で与えられる。

$$U_r = T \tilde{U}_r \quad (2)$$

式(1)の両辺に $A G^{-1}$ を掛け、 $Q = A G^{-1} H$ とすると

$$\begin{bmatrix} Q_{11} & Q_{12} \\ Q_{21} & Q_{22} \end{bmatrix} \begin{Bmatrix} U_f \\ U_r \end{Bmatrix} = \begin{Bmatrix} A_r & 0 \\ 0 & A_f \end{Bmatrix} \begin{Bmatrix} P_r \\ P_s \end{Bmatrix} \quad (3)$$

式(3)に式(2)を代入して整理すると剛基礎の動的剛性マトリックス K (6×6)は次式で与えられる。

$$K = T^T (Q_{11} - Q_{12} Q_{22}^{-1} Q_{21}) T \quad (4)$$

3. 特異点の取扱い

境界要素法においては基本解として点外力における任意点の変位および表面力を用いるため、載荷点近くの積分における特異性が最大の問題となる。ここで載荷点と積分点が一致した場合について論ずる。今考えている要素の部分座標系を図-2のように取る。P点において i 方向に載荷した時のQ点の j 方向の変位は次式で与えられる。

$$U_j^i = U_{ij}^* = \frac{1}{\alpha \pi P C_2} (\psi S_{ij} - \chi r_{ij} Y_{if}) \quad (5)$$

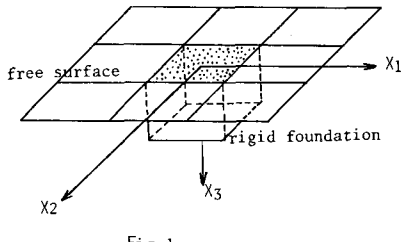


Fig-1

ただし r は P と Q の距離を r_i , i は $\partial \Delta x_i$ を示す。 $i = j$ の時は $S_{ij} = 0$ かつ要素平面の性質より $Y_{ij} = 0$ である。また長方形要素の対称性より、 \bar{x}_1 上の積分がキャンセルされて全て 0 となる。すなわち H_{ij}^* の積分については $i = j$ の時のみを考えれば良い。表面カベクトル P_{ij}^* の積分においては $i = j$ の時のみを考えれば良い。

次に ψ , χ の積分においては最大 r^{-3} の次数の積分が表される。それを直接数値積分すると大きな誤差を生ずる。この特異性を解消するため、 ψ , χ 中の関数 e^{-kr} をべき級数に展開して整理すると次式が得られる。

$$r\psi = \sum_{n=0}^{\infty} \bar{A}_n r^n \quad r\chi = \sum_{n=0}^{\infty} \bar{X}_n r^n \quad (6)$$

ただし \bar{A}_n , \bar{X}_n は各次数における係数であり r に無関係である。 ψ , χ は最大 r^{-2} の関数となり面積積分は十分な精度で数値積分ができる。

4. 数値計算例

数値計算の一例として半無限弾性体表面に設置した 1 塊 $20cm$ の正方形剛板に作用する動的地盤反力特性を求めた。図-3 は計算に用いたモデルであり、中4コの境界要素が剛板と考えた要素があり、周囲の12コの要素が自由境界表面である。ここで用いた地盤の物性値は横波速度 $C_s = 40m$ ポアソン比 $\nu = 1/2$, $1/3$ である。理論解のわかる、いい上下方向加振について境界要素解と田治見の解を比較する。田治見の解は円形剛板分布のそれであるが、 a_0 が小さい範囲では正方形の解とはほぼ一致すると考えられるので境界要素法との比較のために用いた。数値計算結果を図-4, 図-5 に示す。図に示すように境界要素解と、波動理論解とはほぼ一致し、境界要素法の有用性が確かめられた。現在根入れを有する基礎の動的復元力特性を計算中であり講演時に発表の予定である。

[参考文献]

- 1) 小林他; 定常動弾性学における積分方程式の解析的方法
土木学会年次学術講演会(1980)
- 2) 村田他; 境界要素法による任意形状地盤構造物系の弾性解析
建築学会年次学術講演会(1982)
- 3) M. Ottenreuer and G. Schmid; Boundary elements applied to soil foundation interaction pp. 293-309
in Proc. 3rd Int. B.E Seminar - C.A. Brebbia (1981)
- 4) J. Dominguez and E. Alarcón; Elastodynamics pp. 243-257
in Progress in Boundary Element Methods, 1 (1981)

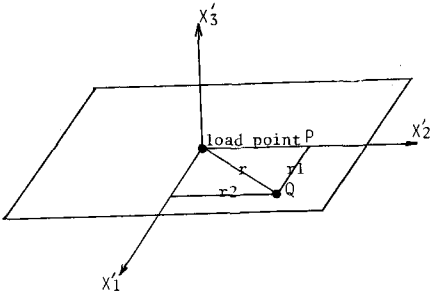


Fig-2

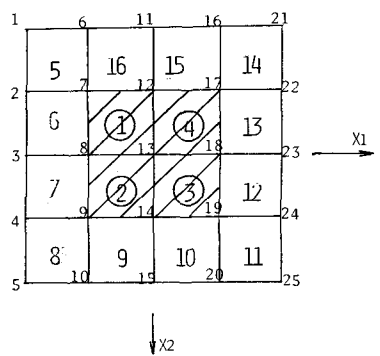


Fig-3

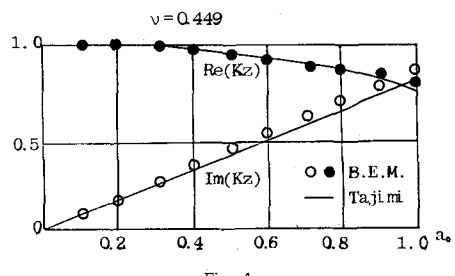


Fig-4

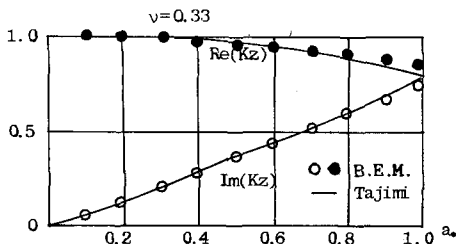


Fig-5